

# Diseño de Filtros IIR

- ▶ La respuesta en frecuencia  $H(w)$  de un filtro IIR es una *función racional*, es decir, la razón entre dos polinomios de grado finito en  $e^{jw}$  de la forma,

$$H(w) = \frac{B(w)}{A(w)} = e^{-jwN_0} \frac{\sum_{k=0}^M b_k e^{-jwk}}{\sum_{k=0}^N a_k e^{-jwk}}$$

donde  $N_0$  es una constante entera y  $h(n) \neq 0$  para  $N_0 \leq n \leq \infty$ .  $N$  es el orden del filtro y generalmente  $N \geq M$ .

- ▶ El diseño de un filtro IIR busca determinar la función racional  $H(w)$  que **mejor se aproxime** a las especificaciones de diseño.
  - ▶ En el dominio frecuencial, esto se logra calculando los coeficientes  $\{a_k\}$  y  $\{b_k\}$  óptimos según un criterio establecido.
  - ▶ El orden del filtro  $N$  generalmente se fija desde un principio, pero también puede considerarse como un parámetro.

## Diseño de Filtros IIR...

- Para los filtros IIR, la función de transferencia,  $H(z)$ , también es racional y está dada por:

$$H(z) = H(e^{j\omega}) \Big|_{z=e^{j\omega}} = z^{-N_0} \frac{\sum_{k=0}^M b_k z^{-k}}{\sum_{k=0}^N a_k z^{-k}}$$

de donde se puede apreciar que los filtros IIR, a diferencia de los FIR, pueden ser inestables.

## Características de Filtros IIR

- No puede utilizarse la convolución para implementar filtros IIR, por lo tanto se recurre a las ecuaciones de diferencia recursivas.
- Los filtros IIR emplean realimentación y necesitan almacenar muestras de la salida para calcular un nuevo valor.

## Características de Filtros IIR...

- ▶▶ No es posible diseñar filtros IIR causales de fase lineal. Para aproximar una fase lineal se puede utilizar la técnica de filtrado *forward-backward*.
- ▶▶ El ruido de la cuantización en los coeficientes puede afectar severamente la respuesta del filtro y su estabilidad, al producir disturbios en las posiciones de los polos y desplazamientos de éstos cerca o sobre el círculo unitario del plano  $z$ .
- ▶▶ Las características de ruido de un filtro IIR deben tenerse muy presentes durante la implementación, especialmente en aritmética de punto fijo.
  - ▶ La cuantización de los coeficientes degrada la respuesta del filtro (se aleja de la respuesta calculada con software de alta precisión).
  - ▶ La sensibilidad al ruido de redondeo puede ser amplificada por las mallas de realimentación en el filtro.
- ▶▶ Comparados con los filtros FIR, los filtros IIR pueden alcanzar las especificaciones de diseño con ordenes relativamente bajos (4 a 6 polos).
- ▶▶ Los filtros IIR se obtienen comúnmente a partir de fórmulas de diseño en forma cerrada correspondientes a filtros clásicos.

# Diseño de Filtros IIR a partir de Filtros Analógicos

## ■ Introducción

- ▶ Técnica basada en convertir un filtro analógico en un filtro digital.
- ▶ El diseño de filtros analógicos es un campo ampliamente desarrollado.

## ■ Descripción de filtros analógicos

- ☆ Por la función de transferencia  $H_a(s)$

$$H_a(s) = \frac{\sum_{k=0}^M \beta_k s^k}{\sum_{k=0}^N \alpha_k s^k}$$

donde  $\{\alpha\}$  y  $\{\beta\}$  son los coeficientes del filtro.

- 🕒 Por  $H_a(s)$  a través de la Respuesta Impulsional  $h(t)$

$$H_a(s) = \int_{-\infty}^{\infty} h(t) e^{-st} dt$$

- 🕒 Por una Ecuación Diferencial Lineal con Coeficientes Constantes

$$\sum_{k=0}^N \alpha_k \frac{\partial^k y(t)}{\partial t^k} = \sum_{k=0}^M \beta_k \frac{\partial^k x(t)}{\partial t^k}$$

donde  $x(t)$  y  $y(t)$  indican señal de entrada y de salida del filtro.

- ▶▶ Cada una de estas tres caracterizaciones equivalentes de un filtro analógico conduce a métodos alternativos para convertir el filtro al dominio digital.
- ▶▶ Un sistema analógico LTI con función de transferencia  $H(s)$  es estable si todos sus polos yacen en la mitad izquierda del plano  $s$ .
- ▶▶ Para que la técnica de conversión sea efectiva debe tener las siguientes propiedades:
  - ▶ El eje  $j\Omega$  en el plano  $s$  debe corresponderse con la circunferencia unidad en el plano  $z$ . Con esto se logra una relación directa entre las dos variables de frecuencia en los dos dominios.
  - ▶ El semiplano izquierdo (LHP) del plano  $s$  debe corresponderse con el interior de la circunferencia en el plano  $z$ . Esto permite que el filtro digital obtenido sea estable.
- ▶▶ Los filtros IIR estables y físicamente realizables, no pueden tener fase lineal, puesto que la condición de fase lineal establece que:

$$H(z) = \pm z^{-N} H(z^{-1})$$

lo que implica que por cada polo dentro de la circunferencia haya un polo especular por fuera.

- ▶▶ Prescindiendo de la restricción de realizabilidad física, computacionalmente es posible, en principio, obtener un filtro IIR de fase lineal. Este método presenta un costo de cómputo alto y no proporciona ventajas sobre los filtros FIR de fase lineal.

## ■ Observación

- ▶▶ En el diseño de filtros IIR se especifican las características del filtro sólo para la respuesta en magnitud, y se aceptan las características de fase obtenidas.
- ▶▶ Las respuestas en magnitud y en fase de un filtro causal son **interdependientes** y por lo tanto, no se pueden especificar independientemente.
- ▶▶ Dada una respuesta en magnitud, su respuesta en fase se determina a través de la *transformada de Hilbert discreta*.

## ▶ Diseño de filtros IIR por aproximación de derivadas

- ▶▶ Se aproxima la ecuación diferencial por una ecuación en diferencias equivalente.
- ▶▶ La derivada en el tiempo  $t = nT$ , se sustituye por la *diferencia hacia atrás*:

$$\left. \frac{\partial y(t)}{\partial t} \right|_{t=nT} = \frac{y(nT) - y(nT - T)}{T} = \frac{y(n) - y(n-1)}{T}$$

Obteniendo las transformadas de Laplace y z en la expresión anterior, se obtiene

$$s = \frac{1 - z^{-1}}{T}$$

- ▶▶ Usando el mismo procedimiento, se puede deducir que para la k-ésima derivada de  $y(t)$  resulta la relación:

$$s^k = \left( \frac{1 - z^{-1}}{T} \right)^k$$

- ▶▶ Para el filtro analógico con función de transferencia  $H_a(s)$  caracterizada por la ecuación diferencial,

$$\sum_{k=0}^N \alpha_k \frac{\partial^k y(t)}{\partial t^k} = \sum_{k=0}^M \beta_k \frac{\partial^k x(t)}{\partial t^k}$$

La función  $H(z)$  del filtro IIR digital se obtiene al aplicar,

$$H(z) = H_a(s) \Big|_{s=(1-z^{-1})/T}$$

## ▶ Correspondencia plano $s \leftrightarrow$ plano $z$

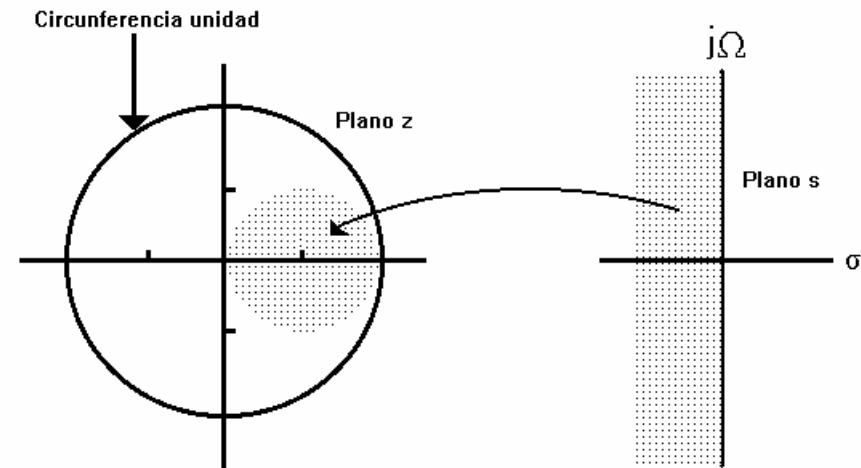
- ▶▶ La relación entre  $s$  y  $z$  obtenida anteriormente puede reescribirse como,

$$z = \frac{1}{1 - sT}$$

con  $s = j\Omega$  se obtiene

$$z = \frac{1}{1 + \Omega^2 T^2} + j \frac{\Omega T}{1 + \Omega^2 T^2}$$

- ▶▶ Cuando  $\Omega$  varía desde  $-\pi$  hasta  $+\pi \Leftrightarrow z$  varía dentro de un círculo de radio  $1/2$  con centro en  $1/2$ .
- ▶▶ La correspondencia es estable y restringida al diseño de filtros paso-bajo y paso-banda con frecuencias resonantes relativamente pequeñas.



Correspondencia plano  $s$  - plano  $z$

### ■ Ejemplo.

Convierta el filtro paso-banda analógico con función de transferencia,

$$H_a(s) = \frac{1}{(s + 0.1)^2 + 9}$$

a un filtro IIR digital usando la *diferencia hacia atrás* para la derivada.

### ■ Solución.

Utilizando la sustitución en  $H(s)$  se obtiene,

$$H(z) = \frac{1}{\left(\frac{1-z^{-1}}{T} + 0.1\right)^2 + 9} = \frac{T^2 / (1 + 0.2T + 9.01T^2)}{1 - \frac{2(1 + 0.1T)}{1 + 0.2T + 9.01T^2} z^{-1} + \frac{1}{1 + 0.2T + 9.01T^2} z^{-2}}$$

La función de transferencia  $H(z)$  tiene la forma de un resonador si  $T$  se selecciona suficientemente pequeño ( $T \leq 0.1$ ), para que los polos estén cerca de la circunferencia unidad.

►► Si  $T = 0.1$ , los polos están situados en,

$$p_{1,2} = 0.91 \pm j0.27 = 0.949e^{\pm j16.5^\circ}$$



# Diseño de filtros IIR mediante Invarianza Impulsional

- ▶▶ Consiste en diseñar un filtro IIR con una respuesta impulsional  $h(n)$  que sea la versión muestreada de la respuesta impulsional del filtro analógico. Es decir,  $h(n) = h(t=nT)$  donde  $T$  es el periodo de muestreo.
- ▶▶ Cuando una señal en tiempo continuo  $x_a(t)$  con espectro  $X_a(F)$  se muestrea a una frecuencia  $F_s = 1/T$  muestras por segundo, el espectro de la señal muestreada es la repetición del espectro escalado  $F_s X_a(F)$  con periodo  $F_s$ :

$$X(f) = F_s \sum_{k=-\infty}^{\infty} X_a[(f - k)F_s]$$

donde  $f = F/F_s$  es la frecuencia normalizada.

- ▶▶ El **aliasing** ocurre si  $F_s$  es menor que dos veces la frecuencia más alta contenida en  $X_a(F)$ .

## Diseño de filtros IIR mediante Invarianza Impulsional...

El filtro digital con respuesta impulsional  $h(n) = h(nT)$  tiene la siguiente respuesta en frecuencia:

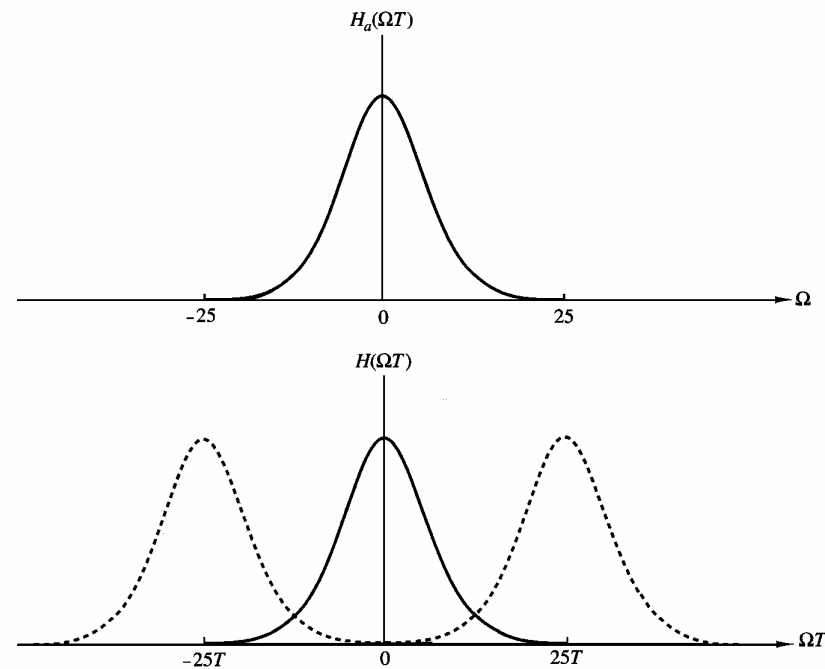
$$H(w) = F_s \sum_{k=-\infty}^{\infty} H_a[(w - 2\pi k)F_s] \quad \text{ó} \quad H(\Omega T) = \frac{1}{T} \sum_{k=-\infty}^{\infty} H_a\left(\Omega - \frac{2\pi k}{T}\right)$$

- ▶▶ El filtro digital con respuesta  $H(w)$  tendrá las características de respuesta en frecuencia del correspondiente filtro analógico si el periodo de muestreo  $T$  se selecciona suficientemente pequeño para evitar al máximo el **aliasing**.
- ▶▶ De lo anterior se desprende que este método es inapropiado para el diseño de filtros paso-bajo.

## Relación de la respuesta en frecuencia

a) filtro analógico

b) filtro digital correspondiente  
con aliasing



## ■ Correspondencia plano $s \leftrightarrow$ plano $z$

►► De forma general, la correspondencia entre los planos  $s$  y  $z$  que genera el proceso de muestreo está dada por,

$$H(z)\Big|_{z=e^{sT}} = \frac{1}{T} \sum_{k=-\infty}^{\infty} H_a\left(s - j\frac{2\pi k}{T}\right) \quad \text{donde} \quad H(z) = \sum_{n=0}^{\infty} h(n)z^{-n}$$

►► Se observa que cuando  $s = j\Omega$  la expresión anterior se reduce a:

$$H(\Omega T) = \frac{1}{T} \sum_{k=-\infty}^{\infty} H_a\left(\Omega - \frac{2\pi k}{T}\right)$$

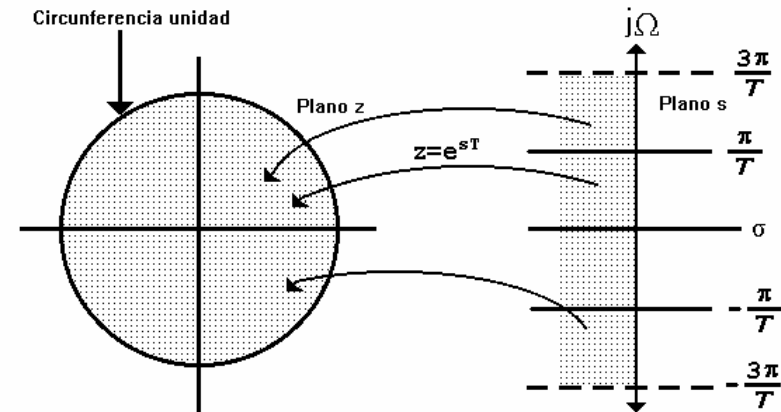
donde se ha suprimido el factor  $j$  en  $H_a(\Omega)$

►► Expresando en forma polar la relación  $z = e^{sT}$  al sustituir  $s = \sigma + j\Omega$  se llega a:

$$re^{jw} = e^{\alpha T} e^{j\Omega T} \quad \text{donde} \quad r = e^{\alpha T} \quad \text{y} \quad w = \Omega T$$

►► Para  $\sigma < 0$  se tiene  $0 < r < 1$  y para  $\sigma > 0$  se tiene  $r > 1$ . Cuando  $\sigma = 0$  se tiene  $r = 1$ . De lo anterior se desprende que:

- Semiplano izquierdo de  $s \Rightarrow$  interior de la circunferencia unidad en el plano  $z$
- Semiplano derecho de  $s \Rightarrow$  exterior de la circunferencia unidad en el plano  $z$
- Eje  $j\Omega \Rightarrow$  circunferencia unidad en el plano  $z$ .
- La correspondencia del eje  $j\Omega$  con el círculo unitario **no es uno a uno**.
- Al intervalo  $-\pi \leq w \leq \pi$  le corresponden los intervalos de frecuencia  $(2k-1)\pi/T \leq \Omega \leq (2k+1)\pi/T$  cuando  $k$  es un entero.
- La correspondencia entre la frecuencia analógica  $\Omega$  y la frecuencia digital  $w$  es **inyectiva**, lo que refleja el efecto de aliasing debido al muestreo.



## ■ Método de diseño

- ▶ La función de transferencia del filtro analógico se expresa en fracciones simples. Analizando el caso en que todos los polos son distintos, se tiene,

$$H_a(s) = \sum_{k=1}^N \frac{c_k}{s - p_k} \quad \text{donde} \quad \begin{array}{l} \{p_k\} \text{ polos del filtro analógico} \\ \{c_k\} \text{ coeficientes de la expansión} \end{array}$$

Al muestrear  $h_a(t)$  periódicamente en  $t = nT$ , se llega a,

$$h_a(t) = \sum_{k=1}^N c_k e^{p_k t} \quad t \geq 0 \quad \Rightarrow \quad h(n) = h_a(nT) = \sum_{k=1}^N c_k e^{p_k T n}$$

- ▶ Sustituyendo esta expresión en la función de transferencia del filtro digital IIR,

$$H(z) = \sum_{n=0}^{\infty} h(n) z^{-n} = \sum_{k=1}^N c_k \sum_{n=0}^{\infty} \left( e^{p_k T} z^{-1} \right)^n$$

- ▶ Porque  $p_k < 0$ , la sumatoria interna converge a,

$$\sum_{n=0}^{\infty} \left( e^{p_k T} z^{-1} \right)^n = \frac{1}{1 - e^{p_k T} z^{-1}}$$

- ▶ y la función de transferencia se reduce a,

$$H(z) = \sum_{k=1}^N \frac{c_k}{1 - e^{p_k T} z^{-1}}$$

- ▶ Los polos del filtro digital se localizan en  $z_k = e^{p_k T}$ ,  $k = 1, 2, \dots, N$  y se corresponden con los polos del plano  $s$ . Los ceros no satisfacen esta relación.

■ **Ejemplo.** Convierta el filtro analógico dado, en un filtro IIR digital por el método de Invarianza Impulsional.

$$H_a(s) = \frac{s + 0.1}{(s + 0.1)^2 + 9}$$

■ **Solución.** El filtro  $H_a(s)$  tiene un cero en  $s = -0.1$  y polos conjugados en  $p_k = -0.1 \pm j3$ .

▶▶  $H(z)$  se determina directamente a partir de la expansión en fracciones parciales de  $H_a(s)$ :

$$H_a(s) = \frac{1/2}{s + 0.1 - j3} + \frac{1/2}{s + 0.1 + j3}$$

▶▶ entonces,

$$H(z) = \frac{1/2}{1 - e^{-0.1T} e^{j3T} z^{-1}} + \frac{1/2}{1 - e^{-0.1T} e^{-j3T} z^{-1}} = \frac{1 - (e^{-0.1T} \cos 3T) z^{-1}}{1 - (2e^{-0.1T} \cos 3T) z^{-1} + e^{-0.2T} z^{-2}}$$

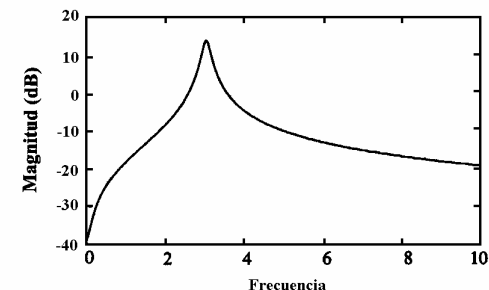
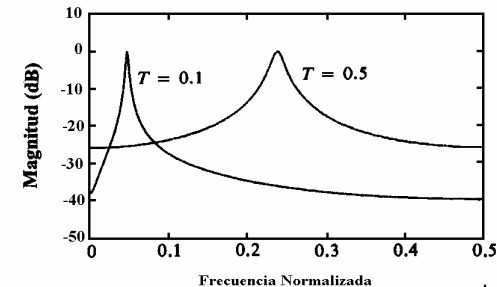
▶▶ **Respuesta en frecuencia.**

▶ **Solapamiento mayor cuando T es mayor.**

▶ **La frecuencia resonante cambia con T.**

▶▶ El ejemplo ilustra la importancia de seleccionar un valor pequeño de T para minimizar el efecto de aliasing.

▶▶ Debido al aliasing, el método de invarianza impulsional es apropiado sólo para el diseño de filtros paso-bajo y paso-banda.



# Diseño de Filtros IIR: Transformación Bilineal

## ■ Introducción

- ▶▶ La transformación bilineal es una correspondencia conformadora que transforma el eje  $j\Omega$  en la circunferencia unidad del plano  $z$ , sin solapamientos de frecuencias.
- ▶▶ El semiplano *izquierdo* del plano  $s$  se corresponde con el *interior* de la circunferencia unidad en el plano  $z$ , y semiplano *derecho* del plano  $s$  se corresponde con el *exterior* de la circunferencia unidad en  $z$ .
- ▶▶ La transformación bilineal permite diseñar todo tipo de filtros.

## ■ Deducción

- ▶▶ La transformación bilineal se puede ligar a la fórmula trapezoidal.

Caso de estudio: filtro lineal analógico,

$$H(s) = \frac{b}{s+a} \Leftrightarrow y'(t) + ay(t) = bx(t)$$

- ▶▶ Al integrar una derivada y al aproximarla por la fórmula trapezoidal se tiene,

$$y(t) = \int_{t_0}^t y'(\tau) d\tau + y(t_0) \Leftrightarrow y(nT) = \frac{T}{2} [y'(nT) + y'(nT - T)] + y(nT - T)$$

- Sustituyendo la expresión de la derivada en la función del filtro y evaluando en  $t = nT \equiv n$ , se produce,

$$\left(1 + \frac{aT}{2}\right)y(n) + \left(1 - \frac{aT}{2}\right)y(n-1) = \frac{bT}{2}[x(n) + x(n-1)]$$

- La transformada z de esta ecuación de diferencia es,

$$\left(1 + \frac{aT}{2}\right)Y(z) + \left(1 - \frac{aT}{2}\right)z^{-1}Y(z) = \frac{bT}{2}[1 + z^{-1}]X(z)$$

Por lo que la función de transferencia del filtro es,

$$H(z) = \frac{b}{\frac{2}{T}\left(\frac{1 - z^{-1}}{1 + z^{-1}}\right) + a}$$

De donde se puede establecer que la correspondencia entre los planos s y z es,

$$s = \frac{2}{T}\left(\frac{1 - z^{-1}}{1 + z^{-1}}\right)$$

la cual constituye la *transformación bilineal*



## ■ Correspondencia plano $s \leftrightarrow$ plano $z$

► Sean  $z = re^{jw}$  y  $s = \sigma + j\Omega$  entonces la transformación bilineal puede escribirse como,

$$s = \frac{2}{T} \left( \frac{z-1}{z+1} \right) = \frac{2}{T} \left( \frac{r^2 - 1}{1 + r^2 + 2r \cos w} + j \frac{2r \sin w}{1 + r^2 + 2r \cos w} \right)$$

de donde se desprende que,

$$\sigma = \frac{2}{T} \left( \frac{r^2 - 1}{1 + r^2 + 2r \cos w} \right)$$

$$\Omega = \frac{2}{T} \left( \frac{2r \sin w}{1 + r^2 + 2r \cos w} \right)$$

► Correspondencia entre planos:

►  $r < 1 \Rightarrow \sigma < 0$ : semiplano izquierdo en  $s$  se corresponde con el interior de la circunferencia unitaria en  $z$ .

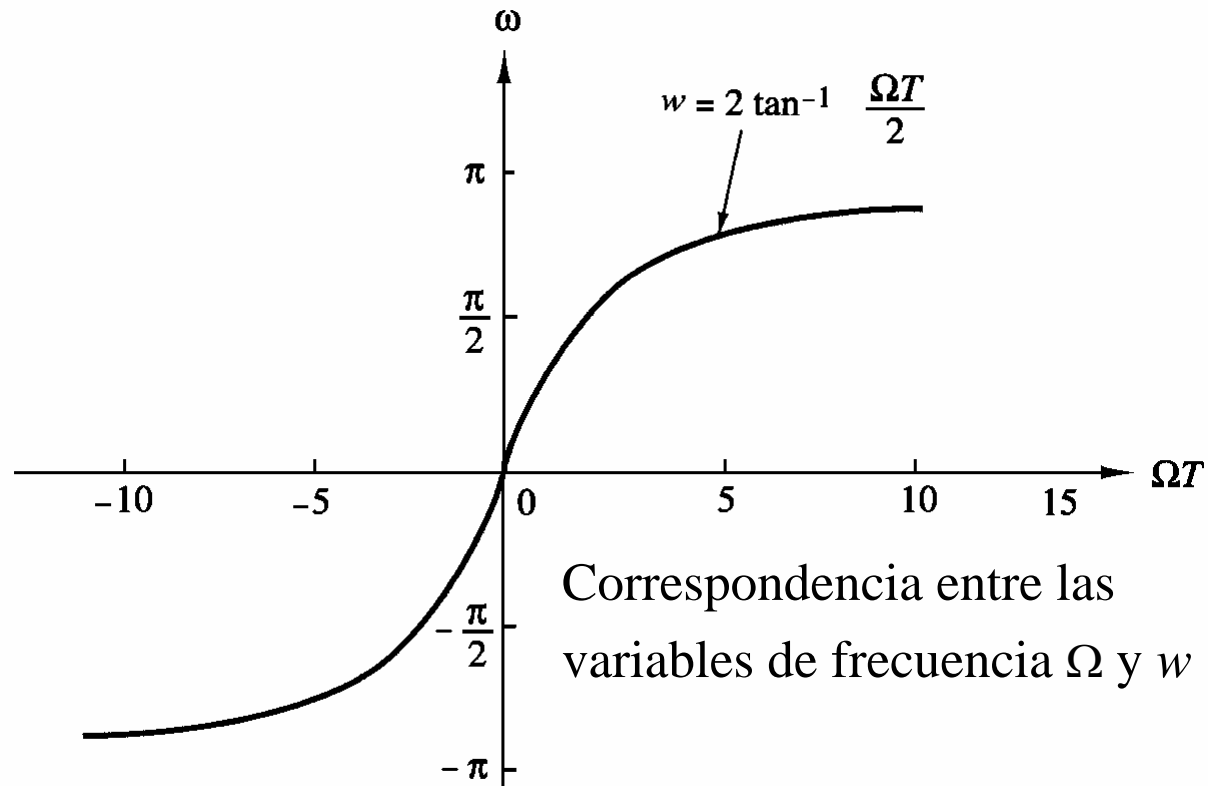
►  $r > 1 \Rightarrow \sigma > 0$ : semiplano derecho en  $s$  se corresponde con el exterior de la circunferencia unitaria en  $z$ .

►  $r = 1 \Rightarrow \sigma = 0$ : se tiene,

$$\Omega = \frac{2}{T} \tan \frac{w}{2} \quad \Leftrightarrow \quad w = 2 \tan^{-1} \frac{\Omega T}{2}$$

que representa *la relación entre las variables de frecuencia en los dos dominios.*

►► La relación entre las dos variables de frecuencia se aprecia en la siguiente figura,



- El rango de  $-\infty \leq \Omega \leq \infty$  se corresponde unívocamente con el rango  $-\pi \leq \omega \leq \pi$
- Correspondencia **no lineal**  $\Rightarrow$  compresión o *deformación de frecuencia*.
- El punto  $s = \infty$  corresponde con el punto  $z = -1$ 
  - Un filtro analógico con un cero en  $s = \infty$  resulta en un filtro digital con un cero en  $z = -1$

■ **Ejemplo.** Convertir el filtro analógico dado en un filtro IIR digital por medio de la transformación bilineal. El filtro digital debe presentar una frecuencia resonante  $\omega_r = \pi / 2$ , que coincida con  $\Omega_r = 4$ .

$$H_a(s) = \frac{s + 0.1}{(s + 0.1)^2 + 16}$$

■ **Solución.**

▶▶ De la relación entre frecuencias, se obtiene el periodo de muestreo T.

$$\Omega_r = \frac{2}{T} \tan \frac{\omega_r}{2} \Rightarrow T = \frac{1}{2}$$

▶▶ Reemplazando el valor de T en la transformación bilineal se obtiene la correspondencia deseada,

$$s = \frac{2}{T} \left( \frac{1 - z^{-1}}{1 + z^{-1}} \right) \Rightarrow s = 4 \left( \frac{1 - z^{-1}}{1 + z^{-1}} \right)$$

▶▶ El filtro digital resultante tiene la función de transferencia,

$$H(z) = \frac{0.128 + 0.006z^{-1} - 0.122z^{-2}}{1 + 0.0006z^{-1} + 0.975z^{-2}}$$

▶▶ Dado que el coeficiente del término  $z^{-1}$  en el denominador de H(z) es muy pequeño, se puede aproximar a cero; luego,

$$H(z) = \frac{0.128 + 0.006z^{-1} - 0.122z^{-2}}{1 + 0.975z^{-2}} \quad \begin{array}{l} \text{polos } p_{1,2} = 0.987 e^{\pm j \pi / 2} \\ \text{ceros } z_{1,2} = -1, 0.95 \end{array}$$

■ **Ejemplo.** Usando la transformación bilineal, diseñe un filtro digital paso bajo de un polo simple con ancho de banda de 3 dB en  $\omega_c = 0.2 \pi$ .

$$H_a(s) = \frac{\Omega_c}{s + \Omega_c}$$

donde  $\Omega_c$  es el ancho de banda de 3 dB del filtro analógico.

■ **Solución.**

►► En el dominio frecuencial,  $\omega_c = 0.2 \pi$  se corresponde con,

$$\Omega_c = \frac{2}{T} \tan(0.1\pi) = \frac{0.65}{T}$$

Por lo que el filtro tiene la función de transferencia,

$$H(s) = \frac{0.65/T}{s + 0.65/T}$$

►► Aplicando la transformación bilineal, con  $T = 1$ , se obtiene el filtro digital,

$$H(z) = \frac{0.245(1 + z^{-1})}{1 - 0.509z^{-1}}$$

con respuesta en frecuencia,

$$H(\omega) = \frac{0.245(1 + e^{-j\omega})}{1 - 0.509e^{-j\omega}} \Rightarrow H(\omega = 0) = 1, \quad H(\omega = 0.2\pi) = 0.707$$

# Diseño de filtros IIR: Transformación z Adaptada

► Método que hace corresponder los polos y los ceros de  $H(s)$  directamente con polos y ceros en el plano  $z$ .

► La transformación hace corresponder a cada factor  $(s-a)$  el factor  $(1-e^{aT}z^{-1})$ , es decir,

$$(s-a) = (1-e^{aT}z^{-1})$$

► Por consiguiente, para un filtro analógico con función de transferencia expresada en factores,

$$H_a(s) = \frac{\prod_{k=1}^M (s - z_k)}{\prod_{k=1}^N (s - p_k)}$$

la función de transferencia para el filtro digital es,

$$H(z) = \frac{\prod_{k=1}^M (1 - e^{a_k T} z^{-1})}{\prod_{k=1}^N (1 - e^{p_k T} z^{-1})}$$

## ► Observación

- Los polos obtenidos en esta transformación son idénticos a los polos obtenidos con el método de invarianza impulsional; sin embargo, los ceros son diferentes.
- $T$  debe escogerse bastante pequeño para producir los polos y ceros en posiciones equivalentes en el plano  $z$  (el aliasing debe evitarse).

# Diseño de filtros IIR: Métodos de Mínimos Cuadrados

## ■ Introducción

- ▶▶ Algunas de las técnicas vistas para el diseño de filtros IIR implicaban la conversión de un filtro analógico en digital mediante alguna correspondencia del plano  $s$  al plano  $z$ .
- ▶▶ Los métodos de mínimos cuadrados permiten diseñar los filtros digitales directamente en el dominio del tiempo, y también en el dominio frecuencial.

# Aproximación de Padé

- ▶▶ El filtro que se va a diseñar presenta la función de transferencia,

$$H(z) = \frac{\sum_{k=0}^M b_k z^{-k}}{1 + \sum_{k=1}^N a_k z^{-k}} = \sum_{k=0}^{\infty} h(k) z^{-k}$$

donde  $h(n)$  es la respuesta impulsional del filtro.

- ▶▶ El filtro posee  $L = M+N+1$  parámetros: los coeficientes  $\{a_k\}$  y  $\{b_k\}$  que se pueden seleccionar para satisfacer algún criterio de error.
- ▶▶ **Criterio de error:** Minimizar la suma  $\varepsilon$  de los errores al cuadrado entre la respuesta impulsional del filtro  $h(n)$  y la respuesta deseada  $h_d(n)$ .

$$\varepsilon = \sum_{n=0}^U [h_d(n) - h(n)]^2$$

- ▶▶ En general  $h(n)$  es una función ***no lineal*** de los parámetros del filtro, lo que implica involucrarse con ecuaciones ***no lineales*** para minimizar  $\varepsilon$ .
- ▶▶ Sin embargo, si se selecciona el límite superior como  $U=L-1$ , es posible ajustar  $h(n)$  perfectamente a  $h_d(n)$  para  $0 \leq n \leq M+N$ .

- ▶ La ecuación en diferencias para el filtro deseado es,

$$y(n) = -a_1 y(n-1) - a_2 y(n-2) - \dots - a_N y(n-N) \\ + b_0 x(n) + b_1 x(n-1) + \dots + b_M x(n-M)$$

- ▶ Con una entrada  $x(n) = \delta(n)$  la respuesta del filtro es  $y(n) = h(n)$ , por lo que,

$$h(n) = -a_1 h(n-1) - a_2 h(n-2) - \dots - a_N h(n-N) \\ + b_0 \delta(n) + b_1 \delta(n-1) + \dots + b_M \delta(n-M)$$

como  $\delta(n-k) = 0$  excepto para  $k=n$  ( $0 \leq n \leq M$ ), la expresión anterior se reduce a:

$$h(n) = -a_1 h(n-1) - a_2 h(n-2) - \dots - a_N h(n-N) + b_n \quad 0 \leq n \leq M \quad [ec.1]$$

y para  $n > M$  se obtiene,

$$h(n) = -a_1 h(n-1) - a_2 h(n-2) - \dots - a_N h(n-N) \quad n > M \quad [ec.2]$$



- ▶ Usando el conjunto de ecuaciones lineales [ec.1] y [ec.2] se puede hacer que  $h(n) = h_d(n)$  para  $0 \leq n \leq M+N$ .
  - **Paso 1:** Encontrar  $\{a_k\}$  haciendo  $h(n) = h_d(n)$  en [ec. 2] ( $M < n \leq M+N$ )
  - **Paso 2:** Con los  $\{a_k\}$  encontrados, determinar  $\{b_k\}$  a partir de [ec. 1] ( $0 \leq n \leq M$ )

## Observaciones

- ▶▶ El grado con que la técnica de aproximación de Padé produce diseños de filtros aceptables depende en parte del número de coeficientes del filtro seleccionado.
  - ▶  $h_d(n)$  sólo se ajusta hasta el número de parámetros del filtro. Cuanto más complejo el filtro, mejor será la aproximación.
  - ▶ Para mejorar la aproximación, el filtro debe poseer un gran número de polos y ceros.
- ▶▶ La utilización de la técnica de Padé requiere de la prueba de varios valores de  $M$  y  $N$  para obtener un filtro que converja a la respuesta deseada.

■ **Ejemplo.** Conociendo que la respuesta impulsional deseada es  $h_d(n) = 2(1/2)^n u(n)$ , use el método de aproximación de Padé para obtener los coeficientes de,

$$H(z) = \frac{b_0 + b_1 z^{-1}}{1 + a_1 z^{-1}}$$

■ **Solución.** Con  $\delta(n)$  como entrada a  $H(z)$ , se obtiene la salida,

$$h(n) = -a_1 h(n-1) + b_0 \delta(n) + b_1 \delta(n-1)$$

■ Seleccionando  $M = N = 1$  (número de ceros y de polos)

▶ Paso 1: Para  $n > M$ ,

$$n = 2 \Rightarrow h(2) = -a_1 h(1) \quad \text{con} \quad h_d(2) = 1/2, \quad h_d(1) = 1 \Rightarrow a_1 = -1/2$$

▶ Paso 2: Para  $0 \leq n \leq M$

$$n = 0 \Rightarrow h(0) = (1/2)h(-1) + b_0 \quad \text{con} \quad h_d(0) = 2, \quad h_d(-1) = 0 \Rightarrow b_0 = 2$$

$$n = 1 \Rightarrow h(1) = (1/2)h(0) + b_1 \quad \text{con} \quad h_d(0) = 2, \quad h_d(1) = 1 \Rightarrow b_1 = 0$$

■ **Observación**

- ▶ La aproximación de Padé resulta en un ajuste perfecto a  $H_d(z)$  cuando la función de transferencia deseada es *racional* y se conocen *a priori* el número de polos y ceros del sistema.
- ▶ Generalmente lo anterior no es el caso, ya que  $h_d(n)$  se determina a partir de algunas especificaciones de  $H_d(w)$ . En estos casos, la aproximación de Padé puede **NO** resultar en un buen diseño del filtro.

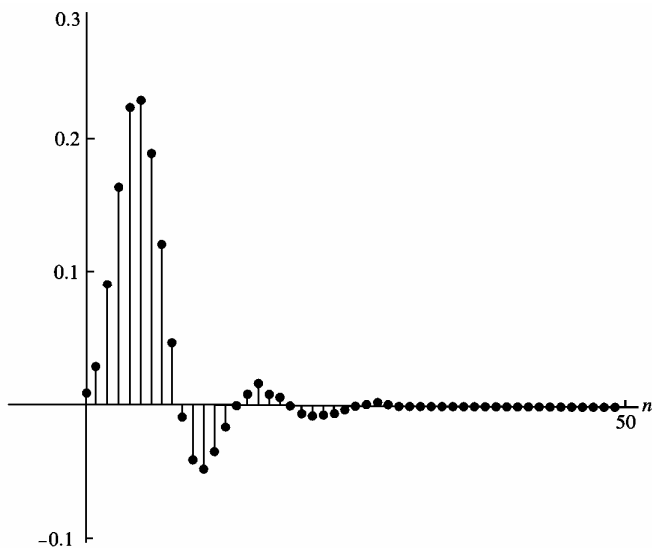
# Efecto de la selección de los valores de M y N

► Considerar el filtro Butterworth de cuarto orden dado por,

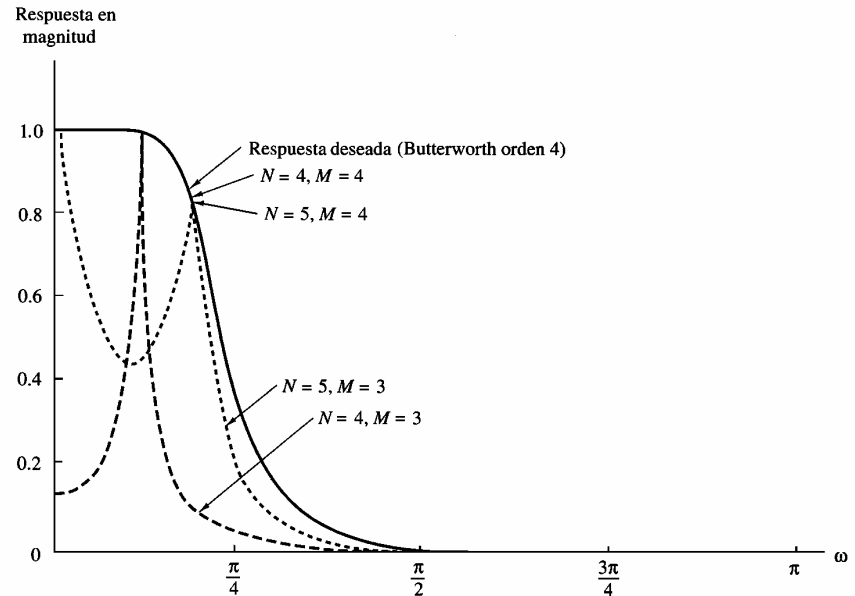
$$H_d(z) = \frac{4.8334 \times 10^{-3} (z + 1)^4}{(z^2 - 1.3205z + 0.6326)(z^2 - 1.0482z + 0.2959)}$$

► Determinar la aproximación de Padé con números de polos y ceros iguales y diferentes del filtro deseado.

- Para valores de M y N menores que 4, la aproximación es pobre.
- Para valores de  $M \geq 4$  se obtiene una muy buena aproximación.
- Para valores de  $M > 4$  se puede obtener un buen resultado incluso para  $N < 4$ .



Respuesta impulsional  $h_d(n)$



Respuesta en frecuencia de los filtros obtenidos

# Realización de Filtros

## ►► Introducción.

La realización de filtros corresponde al cálculo de la salida del filtro, en respuesta a cualquier entrada. Para filtros LTI la relación entre la entrada y salida está dada por la convolución,

$$y(n) = h(n) * x(n) = \sum_{k=N_1}^{N_2} h(k)x(n-k) \quad [ec.1]$$

donde  $N_1$  y  $N_2$  son los índices de la primera y última muestras diferente de cero de  $h(n)$ .

# Realización de Filtros

## ►► Introducción...

- En el dominio frecuencial la convolución corresponde al producto de las transformadas,

$$Y(w) = H(w) X(w) \quad [ec.2]$$

- Puesto que la transformada de Fourier dada por [ec. 2] es continua en  $w$ , se recurre a la transformada discreta de Fourier DFT,

$$Y(w_k) = H(w_k) X(w_k) \quad , \quad w_k = (2\pi k / N_{DFT}) \quad , \quad k = 0, 1, \dots, N_{DFT} \quad [ec.3]$$

Donde  $N_{DFT}$  es el tamaño de la DFT y corresponde al número de muestras en el periodo  $2\pi$ .

- $N_{DFT} \geq \text{máx}\{\text{longitud de } x(n) + \text{longitud de } h(n) - 1\}$  para realizar la multiplicación punto a punto.
- La DFT puede calcularse muy eficientemente usando el algoritmo FFT.

## Realización de Filtros FIR

Puesto que  $N_1$  y  $N_2$  son finitos, se utiliza la expresión de la convolución en el dominio del tiempo o en el dominio frecuencial para obtener la respuesta del filtro.

- ▶ En el dominio temporal el requerimiento de almacenamiento depende sólo de la longitud de  $h(n)$ ,

$$y(n) = h(n) * x(n) = \sum_{k=N_1}^{N_2} h(k)x(n-k)$$

- ▶ En el dominio frecuencial la capacidad de almacenamiento varía con el tamaño de la señal de entrada.

$$Y(k) = H(k) X(k) \quad , \quad k = 0, 1, \dots, N_{DFT}$$

$$\text{donde } N_{DFT} \geq \{ \text{longitud de } x(n) + \text{longitud de } h(n) - 1 \}$$

# Realización de Filtros IIR

La ecuación de la convolución no puede utilizarse debido a la longitud infinita de  $h(n)$ , por lo cual se recurre a las ecuaciones de diferencia recursivas.

Al reemplazar

$$H(w) = \frac{B(w)}{A(w)} = e^{-jwN_0} \frac{\sum_{k=0}^M b_k e^{-jw k}}{\sum_{k=0}^N a_k e^{-jw k}}$$

en

$$Y(w) = H(w) X(w)$$

se obtiene,

$$Y(w) = e^{-jwN_0} \frac{\sum_{k=0}^M b_k e^{-jw k}}{\sum_{k=0}^N a_k e^{-jw k}} X(w)$$



# Realización de Filtros IIR...

se obtiene,

$$Y(w) = e^{-jwN_0} \frac{\sum_{k=0}^M b_k e^{-jwk}}{\sum_{k=0}^N a_k e^{-jwk}} X(w)$$

Por simplicidad y sin pérdida de generalidad, se asume  $N_0=0$ , con lo cual se llega a,

$$\sum_{k=0}^N a_k e^{-jwk} Y(w) = \sum_{k=0}^M b_k e^{-jwk} X(w)$$

Aplicando la transformada inversa de Fourier y recordando que la multiplicación por  $e^{-jwk}$  corresponde a un desplazamiento por  $k$  en el dominio del tiempo,

$$\sum_{k=0}^N a_k y(n-k) = \sum_{k=0}^M b_k x(n-k)$$

Al extraer el término  $h(n)$  de la sumatoria se llega a,

$$y(n) = \sum_{k=0}^M \frac{b_k}{a_0} x(n-k) - \sum_{k=1}^N \frac{a_k}{a_0} y(n-k) \quad \text{para } n \geq n_0 \quad (n_0 \text{ entero y constante})$$

- ▶ Esta implementación requiere  $N$  valores iniciales de salida,  $y(n_0-1), \dots, y(n_0-N)$ .
- ▶ Si  $x(n)=0$  para  $n < n_0$ , entonces  $y(n)=0$  para  $n < n_0$ .

# Transformaciones de Frecuencia

## ■ Introducción

- ▶ El estudio de filtros IIR se centra en el diseño de filtros paso-bajo.
- ▶ La obtención de un filtro paso-alto, pasa-banda, o banda de rechazo se realiza de forma simple al tomar un prototipo paso -bajo y aplicarle una transformación de frecuencia.
- ▶ La transformación puede aplicarse en el dominio analógico o digital. En general estas dos aproximaciones producen resultados diferentes, excepto para la transformación bilineal.

## Transformaciones de Frecuencia en el Dominio Analógico

Tipo de transformación	Transformación	Frecuencias de corte del nuevo filtro
<u>Paso bajo</u>	$s \longrightarrow \frac{\Omega_p}{\Omega'_p} s$	$\Omega'_p$
<u>Paso alto</u>	$s \longrightarrow \frac{\Omega_p \Omega'_p}{s}$	$\Omega'_p$
<u>Paso banda</u>	$s \longrightarrow \Omega_p \frac{s^2 + \Omega_l \Omega_u}{s(\Omega_u - \Omega_l)}$	$\Omega_l, \Omega_u$
<u>Banda eliminada</u>	$s \longrightarrow \Omega_p \frac{s(\Omega_u - \Omega_c)}{s^2 + \Omega_u \Omega_l}$	$\Omega_l, \Omega_u$

# Transformaciones de Frecuencia en el Dominio Digital

Tipo de transformación	Transformación	Parámetros
<u>Paso bajo</u>	$z^{-1} \longrightarrow \frac{z^{-1} - a}{1 - az^{-1}}$	$\omega'_p =$ frecuencia de corte del nuevo filtro $a = \frac{\text{sen}[(\omega_p - \omega'_p)/2]}{\sin[(\omega_p + \omega'_p)/2]}$
<u>Paso alto</u>	$z^{-1} \longrightarrow -\frac{z^{-1} + a}{1 + az^{-1}}$	$\omega'_p =$ frecuencia de corte del nuevo filtro $a = -\frac{\cos[(\omega_p + \omega'_p)/2]}{\cos[(\omega_p - \omega'_p)/2]}$
<u>Paso banda</u>	$z^{-1} \longrightarrow -\frac{z^{-2} - a_1 z^{-1} + a_2}{a_2 z^{-2} - a_1 z^{-1} + 1}$	$\omega_l =$ frecuencia de corte inferior $\omega_u =$ frecuencia de corte superior $a_1 = -2\alpha K/(K + 1)$ $a_2 = (K - 1)/(K + 1)$ $\alpha = \frac{\cos[(\omega_u + \omega_l)/2]}{\cos[(\omega_u - \omega_l)/2]}$ $K = \cot \frac{\omega_u - \omega_l}{2} \tan \frac{\omega_p}{2}$
<u>Banda eliminada</u>	$z^{-1} \longrightarrow \frac{z^{-2} - a_1 z^{-1} + a_2}{a_2 z^{-1} - a_1 z^{-1} + 1}$	$\omega_l =$ frecuencia de corte inferior $\omega_u =$ frecuencia de corte superior $a_1 = -2\alpha/(K + 1)$ $a_2 = (1 - K)/(1 + K)$ $\alpha = \frac{\cos[(\omega_u + \omega_l)/2]}{\cos[(\omega_u - \omega_l)/2]}$ $K = \tan \frac{\omega_u - \omega_l}{2} \tan \frac{\omega_p}{2}$